

بررسی تنوع ژنتیکی ماهی صبیتی (*Sparidentex hasta*) در سواحل ایرانی خلیج فارس و دریای عمان با استفاده از روش میکروستلایت

سید احمد قاسمی*، احمد فقیه و علی فخری

ایران، بوشهر، دانشگاه خلیج فارس، پژوهشکده خلیج فارس، گروه بیوتکنولوژی

تاریخ دریافت: ۹۵/۱۲/۲ تاریخ پذیرش: ۹۶/۱۱/۱۶

چکیده

ماهی صبیتی بومی خلیج فارس بوده و یک گونه ارزشمند از نظر اقتصادی و آبی‌پروری می‌باشد. در این تحقیق از ۷ جایگاه میکروستلایتی برای بررسی ساختار جمعیتی ماهی صبیتی استفاده گردید. ۱۷۰ نمونه ماهی صبیتی از چهار منطقه در خلیج فارس و یک منطقه در دریای عمان مورد بررسی قرار گرفتند. نتایج نشان داد که تعداد ال‌ها واقعی و مؤثر بسیار پایین می‌باشد، اما هتروزیگوسیتی مشاهده شده و هتروزیگوسیتی مورد انتظار در حد متوسط بود. انحراف از تعادل هاردی واینبرگ در اکثر لوکوس-ها بدلیل استفاده از جایگاه‌های غیراختصاصی گونه مشاهده شد. نتایج آمار واریانس مولکولی، شاخص Rst مشخص کرد که ۸۷ درصد از اختلاف ژنتیکی بین افراد و ۱۱ درصد از اختلاف بین جمعیت‌های بود. جمعیت بوشهر، گناوه و دیر اختلاف معنی‌داری با یکدیگر نداشتند، اما با سایر جمعیت‌ها دارای اختلاف هستند. جمعیت منطقه بندرعباس از جمعیت‌های مناطق خلیج فارس متمایز بود با این‌وجود جریان ژنی بالایی بین جمعیت‌های مختلف جغرافیایی وجود دارد. آنالیز ماننل اختلاف معنی‌داری را بین جمعیت‌های جغرافیایی نشان می‌دهد. آنالیز پیوند همجواری، بوشهر، دیر و گناوه را در یک خوشه و جمعیت بندرعباس را در یک کلاستر جداگانه قرار دارد. بطور کلی می‌توان گفت جمعیت بندرعباس از جمعیت‌های خلیج فارس متمایز می‌باشد.

واژه‌های کلیدی: ماهی صبیتی، جمعیت، تنوع ژنتیکی، میکروستلایت، *Sparidentex hasta*

* نویسنده مسئول، تلفن: ۰۹۳۶۴۸۵۵۹۵۶، پست الکترونیکی: aqasemi@gmail.com

مقدمه

به صورت مصنوعی تکثیر می‌گردد. به همین دلیل برای بهره‌برداری پایدار از این گونه و تکثیر موفق آن در جهت اصلاح نژاد نیازمند داشتن اطلاعات تنوع ژنتیکی و ساختار ژنتیکی این گونه می‌باشد (۵). به دلیل افزایش آلودگی‌ها و بهره‌برداری و صید بی‌رویه ماهی، ذخایر این گونه در خلیج فارس در حال کاهش می‌باشد، بهره‌برداری از ذخایر آبیان بدون دانستن ساختار جمعیتی آنها باعث از بین رفتن ساختارهای ژنتیکی جمعیت‌ها و گونه‌ها و همچنین بالا رفتن آسیب‌پذیری گونه‌ها نسبت به شرایط محیطی می‌شود. به‌طور کلی مدیریت تنوع ژنتیکی در موجودات، نیازمند ارزیابی ساختار ژنتیکی و تفکیک ذخایر گونه مورد

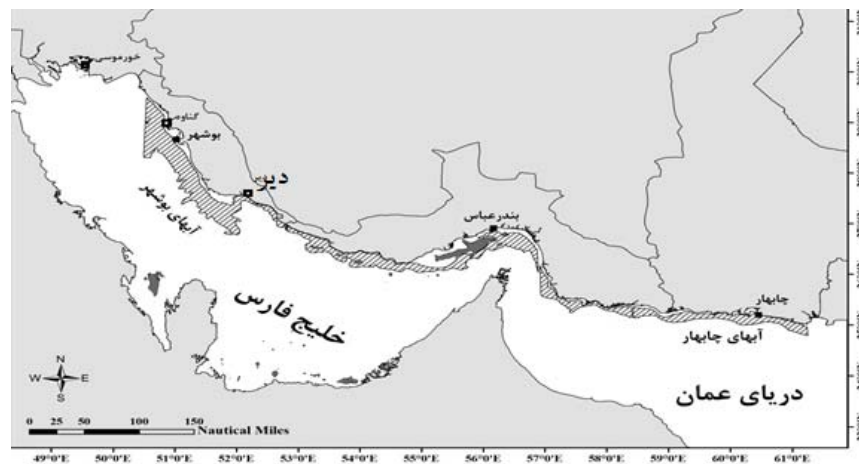
ماهی صبیتی بانام علمی *Sparidentex hasta* یکی از ماهیان اقتصادی خلیج فارس متعلق به خانواده شانک ماهیان می‌باشد. پراکنش ماهی صبیتی بیشتر در خلیج فارس و سواحل هند، البته به غرب اقیانوس آرام و شمال استرالیا نیز معرفی شده است (۱۲). این ماهی هرمافروdit پروتاندردیک بوده و فصل تخم‌ریزی آن از بهمن تا فروردین می‌باشد (۲۵ و ۲۶) و یکی از گونه‌های مهم و تجارتي خلیج فارس به حساب می‌آید. بدلیل بازار پسند بودن در کشورهای حاشیه خلیج فارس از میزان صید بالایی برخوردار است. ماهی صبیتی یکی از گونه‌های مورد مطالعه برای تکثیر و پرورش می‌باشد که هم‌اکنون

علی‌رغم اینکه ماهی صبیتی از ماهیان اقتصادی و درجه‌یک مناطق جنوب کشور محسوب می‌شود، لیکن تاکنون هیچ‌گونه مطالعه ژنتیکی در این‌گونه انجام نشده است. تنها مطالعه جمعیتی ماهی صبیتی در آب‌های ایران با روش AFLP می‌باشد (۴). در حال حاضر اطلاعات ژنومی کمی از ماهی صبیتی گزارش شده است. لذا برای بررسی جمعیت‌های این‌گونه از پرایمرهای گونه‌های دیگر استفاده گردید در این تحقیق با استفاده از ۸ جایگاه میکروستلایتهای ماهی شانک زرد باله (۳۸)، ساختار جمعیتی و میزان تنوع ژنتیکی ماهی صبیتی در شمال خلیج فارس و دریای عمان بررسی شد.

مواد و روشها

نمونه‌برداری: باتوجه به پراکنش ماهی صبیتی در سواحل شمال خلیج فارس شامل خور موسی، گناوه، بوشهر، دیر و بندرعباس به‌عنوان مناطق نمونه‌برداری انتخاب شدند (شکل ۱). جمع‌آوری نمونه‌ها در سالهای ۱۳۸۹ تا ۱۳۹۱ انجام شد، در هر ایستگاه از ماهیان صیدشده (بوسیله تور و قلاب) توسط قایق‌های صیادی ۳۰ نمونه انتخاب و از باله دمی همراهی حدود ۲ گرم از بافت نرم جداسازی شده و در الکل اتانول مطلق تثبیت شد.

نظر است. بنابراین آگاهی و بررسی دایمی وضعیت ژنتیکی گونه‌هایی که در معرض بهره‌برداری و صید بی‌رویه قرار دارند، برای حفظ و مدیریت آنها ضروری است (۱۷) و (۲۴). کاهش ذخایر آبزیان در دنیا سبب گردیده است که محققین توجه زیادی به روشهای مولکولی برای بررسی جمعیت‌ها و مدیریت ذخایر آبزیان کنند (۶ و ۹). در دهه‌های اخیر استفاده از نشانگرهای مولکولی همچون AFLP، RFLP، RAPD، Microsatellite، شناسایی ساختار ژنتیکی ذخایر توسعه یافت. امروزه این نشانگرها به‌طور گسترده‌ای در بسیاری زمینه‌ها از قبیل نقشه‌یابی و ردیابی ژن‌ها، تعیین جنسیت، بررسی تنوع ژنتیکی یا روابط ژنتیکی به کار می‌روند (۱، ۷ و ۱۴). باتوجه به مطالعات گذشته مشخص گردیده که میکروستلایتهای در اکثر موجودات وجود دارد و در همه موجودات تنوع بسیار بالایی را از خود نشان می‌دهند. نشانگرهای میکروستلایت به دلیل فراوانی و گستردگی بالا در ژنوم، همباز بودن، توارث مندلی، کوچک بودن اندازه جایگاه ژنی و در نتیجه سهولت تعیین ژنوتیپ از طریق واکنش زنجیره‌ای پلیمرز و همچنین چندشکلی بالا مناسب‌تر هستند (۸ و ۱۰). مطالعات گذشته در شانک ماهیان با استفاده از نشانگر میکروستلایت نشان‌دهنده تنوع ژنتیکی بالایی در این‌گونه است اما اختلاف ژنتیکی بین جمعیت‌ها کم می‌باشد (۳۳).



شکل ۱- موقعیت جغرافیایی مناطق نمونه‌برداری از ماهی صبیتی در خلیج فارس و دریای عمان

۲۰۰ میکرومولار dNTPs، ۱ واحد TaqDNA Polymeras و ۱۰ پیکومول از هر پرایمر و ۱۰۰ نانوگرم DNA ژنومی انجام شد. برنامه گرمایی PCR (دستگاه ترموسایکلر اپندورف) شامل یک چرخه واسرشت سازی اولیه در دمای ۹۴ درجه سانتیگراد به مدت ۳ دقیقه و سپس تعداد ۳۰ چرخه شامل واسرشت سازی ثانویه در دمای ۹۴ درجه سانتیگراد به مدت ۳۰ ثانیه، اتصال آغازگرها به رشته DNA، بسته به نوع آغازگر (جدول ۱) به مدت ۳۰ ثانیه، بسط در دمای ۷۲ درجه سانتیگراد به مدت ۳۰ ثانیه و در نهایت یک چرخه بسط نهایی در دمای ۷۲ درجه سانتیگراد به مدت ۳ دقیقه بود.

استخراج DNA با استفاده از روش فنل-کلروفرم (۳۱) انجام گردید. کمیت و کیفیت DNA بدست آمده با استفاده از الکتروفورز ژل آگارز یک درصد و اسپکتروفتومتری تعیین گردید.

در این تحقیق با توجه به نبود پرایمرهای اختصاصی میکروستلایتی برای ماهی صبیتی تعداد ۸ جفت آغازگر اختصاصی ماهی شانک زرد باله (*Acanthopagrus latus*) براساس مطالعه ژیا و همکاران (۳۷) انتخاب و پس از سنتز پرایمرها (شرکت متابیون آلمان)، مورد استفاده قرار گرفت (جدول ۱). واکنش زنجیره‌ای پلی‌مرز برای نمونه‌ها در حجم ۱۲/۵ میکرولیتر با شرایط ۲ میلی مولار کلرید منیزیم،

جدول ۱- توالی پرایمر جایگاه‌های مورد استفاده در واکنش PCR انتخابی

| Locus | Repeat motif | Primer sequences (5'-3') | R (bp) | T _a (°C) | Accession no. |
|-------|--------------------|--------------------------------------------------------|---------|---------------------|---------------|
| S15 | (GT) ₂₀ | F: GCGGGAACATGTCATT R: AATTGAAGGGTGAGGGTCA | 145-158 | 58 | DQ222444 |
| S16 | (CA) ₂₁ | F: GAGCAGAGCAGCGGACATC R: TGCATGTTTATGTACCGCATAC | 180-250 | 58 | DQ222445 |
| S18 | (GT) ₁₉ | F: CGTTTCACTGGAAAACACC R: TCTGTGACAGGATGCTGACTTA | 210-260 | 58 | DQ222446 |
| S19a | (CA) ₂₀ | F: GATATAATAGAGGGGTTGACA R: CACTGAGCGCTTGCTT | 250-268 | 58 | DQ222447 |
| S30 | (CA) ₃₈ | F: GCGCTTATTGTTCTGGGTTAC R: GAATAGACTGGTGAGGCGTCA | 196-230 | 58 | DQ222448 |
| S32 | (GT) ₂₀ | F: GCCAGCGCACTGTGTTGTTATT R: GCGCTGAAGCTCCGTTACTTTA | 175-231 | 58 | DQ222449 |
| S34 | (GT) ₃₀ | F: GAAGGATAGAGGAGGTGTGG R: ATCACATGCACACGCAGAC | 156-190 | 58 | DQ222450 |
| S35a | (GT) ₂₀ | F: CGCATAATGTTACAAGTCAC R: CGGACATCATTATGATTCTA | 160-192 | 58 | DQ222451 |

استفاده از نرم افزارهای ژن پاپ ۲،۹،۴ (۳۰) و ارلیگوین ۳،۵ (۱۱) درآمد.

پارامترهای تنوع ژنتیکی شامل: تعداد الل‌ها، هتروزیگوسیتی مشاهده شده و مورد انتظار، تعداد الل مؤثر در هر لوکوس و در هر جمعیت با نرم‌افزار GenAIEx6.4 محاسبه گردید. انحراف از تعادل هاردی وایبرگ و شاخص Fis و غنای اللی در نرم‌افزار FSTAT 2.9.4 (۱۶) محاسبه شد.

برای محاسبه میزان اختلاف ژنتیکی بین مناطق

پس از انجام واکنش PCR، برای جداسازی باندها در محصول PCR از ژل پلی‌اکریل آمید ۶ درصد و برای آشکارسازی باندها از روش نیترا نقره استفاده گردید (۳۲) و از الگوی باندها بدست آمده عکس برداری گردید و توسط نرم افزار کوانتی وان (Bio-Rad) باندها ارزش گذاری شدند.

آنالیز آماری: ابتدا با استفاده از نرم‌افزار میکروچکر ورژن ۲،۲،۳ (۳۵) تست الل‌ای نول انجام گرفت. ماتریکس الل‌های میکروستلایتی بدست آمده در فرمت اکسل وارد و با

شده بین ۰/۸۶ تا ۰/۹ با میانگین ۰/۸۷ و دامنه هتروزیگوسیتی مورد انتظار بین ۰/۷۵ تا ۰/۸۵ با میانگین ۰/۷۲ محاسبه گردید. در تمامی لوکوس‌ها مقادیر هتروزیگوسیتی مشاهده‌شده بیشتر از هتروزیگوسیتی مورد انتظار محاسبه گردید (جدول ۲). همچنین بیشترین هتروزیگوسیتی مشاهده‌شده در جمعیت بوشهر به میزان ۰/۹ و بیشترین هتروزیگوسیتی مورد انتظار در جمعیت بندرعباس مشاهده شد. میزان He و Ho بین جمعیت‌های خور موسی، گناوه، بوشهر، دیر اختلاف معنی‌داری را نشان نداد. میانگین شاخص شانن ۱/۴۶ و بیشترین میزان این شاخص در نمونه‌های بندرعباس (۱/۶) بدست آمد. میانگین تعداد الل در لوکوس‌های مختلف ۵/۶ و میانگین الل ۴/۰۶ بود. بیشترین الل واقعی و مؤثر در جمعیت بندرعباس محاسبه گردید. میانگین الل مؤثر و الل واقعی در جمعیت‌های خور موسی، دیر، بوشهر و گناوه اختلاف معنی‌داری نشان نمی‌دهد.

در بررسی تعادل هاردی-واینبرگ در لوکوس‌های مختلف نشان داد که تنها لوکوس S18 در جمعیت خورموسی، بوشهر و بندرعباس اختلاف معنی‌داری را نشان نداد. سایر جایگاه‌ها انحراف از تعادل هاردی-واینبرگ مشاهده می‌گردد. همچنین هیچ‌کدام از پنج لوکوس عدم تعادل پیوستگی را نشان ندادند.

جدول ۲- شاخص‌های تنوع ژنتیکی (N: تعداد نمونه، Na الل واقعی، Ne الل مؤثر) شاخص شانن، هتروزیگوسیتی مورد انتظار He و مشاهده‌شده Ho،

WHE تعادل هاردی واینبرگ و F شاخص درون‌زاد آوری) در جمعیت‌های ماهی صیبتی

| Pop | | S15 | S30 | S16 | S18 | S19a | S35 | S32 | Mean | SE |
|---------|-----|-------|-------|-------|-------|-------|-------|-------|-------|------|
| خورموسی | N | ۳۰/۰۰ | ۲۸ | ۳۰/۰۰ | ۳۰/۰۰ | ۳۰/۰۰ | ۳۰/۰۰ | ۳۰/۰۰ | ۲۹/۷۱ | ۰/۲۹ |
| | Na | ۵/۰۰ | ۸/۰۰ | ۵/۰۰ | ۵/۰۰ | ۶/۰۰ | ۵/۰۰ | ۵/۰۰ | ۵/۰۰ | ۰/۵۸ |
| | Ne | ۲/۵۳ | ۵/۶۰ | ۲/۶۰ | ۲/۷۱ | ۵/۸۸ | ۵/۵۶ | ۳/۰۹ | ۳/۶۹ | ۰/۵۹ |
| | I | ۱/۰۲ | ۱/۸۷ | ۱/۰۹ | ۱/۱۵ | ۱/۶۶ | ۱/۵۶ | ۱/۲۳ | ۱/۳۷ | ۰/۱۲ |
| | Ho | ۰/۹۳ | ۰/۹۳ | ۱/۰۰ | ۰/۷۳ | ۱/۰۰ | ۱/۰۰ | ۰/۷۰ | ۰/۹۰ | ۰/۰۵ |
| | He | ۰/۵۹ | ۰/۸۲ | ۰/۶۲ | ۰/۶۳ | ۰/۸۰ | ۰/۷۸ | ۰/۶۸ | ۰/۷۰ | ۰/۰۵ |
| | WHE | ۰/۶۰ | ۰/۸۵ | ۰/۶۳ | ۰/۶۵ | ۰/۸۱ | ۰/۷۹ | ۰/۶۹ | ۰/۷۱ | ۰/۰۵ |
| | F | ۰/۵۹- | ۰/۱۳- | ۰/۶۲- | ۰/۱۶- | ۰/۲۶- | ۰/۲۸- | ۰/۰۵- | ۰/۳۰- | ۰/۰۹ |

نمونه‌برداری از شاخص Fst استفاده گردید و آنالیز واریانس مولکولی (Analysis of MOlecular VAriance) برای محاسبه Fst و Rst استفاده شد. آنالیز واریانس مولکولی (تست AMOVA) در سطح خطای ۰/۰۱ با ۱۰۰۰ بار تکرار در نرم‌افزار GeneAlex (۲۷)، آنالیز PCA (Principal coordinate analysis) در نرم‌افزار GenAIEx با استفاده از اختلاف ژنتیکی بین جمعیت‌ها ترسیم گردید. تست تنگنای ژنتیکی براساس مدل جهش دوفازی (TPM)، مدل جهش گام‌به‌گام (SMM) و بی‌نهایت (IAM) با استفاده از نرم‌افزار باتلنک ۱،۲ انجام گرفت.

نتایج

از ۸ جفت پرایمر مورد استفاده در این پژوهش ۷ جایگاه پلی‌مورف بوده و حداقل دو باند را نشان دادند. براساس نتایج بدست آمده در این بررسی مجموعاً ۴۷ الل پلی‌مورف در هفت لوکوس میکروستلایتی با میانگین ۶/۸ الل برای هر لوکوس شناسایی شد. لوکوس‌های S35 با ۱۰ الل بیشترین تعداد الل را داشت و لوکوس S32 با ۵ الل کمترین تعداد الل پلی‌مورفیسم را نشان داد. چهار الل اختصاصی، الل شماره ۹ در لوکوس SA30 مربوط به منطقه دیر، الل شماره ۵ و ۶ در لوکوس S16 مربوط به منطقه دیر، الل شماره ۵ و ۶ در لوکوس S18 مربوط به منطقه دیر شناسایی شد. در این مطالعه دامنه هتروزیگوسیتی مشاهده

| | | | | | | | | | | |
|-------------|-----|-------|-------|-------|-------|-------|-------|-------|-------|------|
| گناوه | N | ۳۰/۰۰ | ۲۹/۰۰ | ۳۰/۰۰ | ۳۰/۰۰ | ۳۰/۰۰ | ۳۰/۰۰ | ۳۰/۰۰ | ۲۹/۸۶ | ۰/۱۵ |
| | Na | ۵/۰۰ | ۷/۰۰ | ۵/۰۰ | ۳/۰۰ | ۶/۰۰ | ۹/۰۰ | ۵/۰۰ | ۵/۵۷ | ۰/۷۵ |
| | Ne | ۳/۶۵ | ۵/۵۵ | ۳/۹۸ | ۲/۷۰ | ۵/۳۱ | ۷/۷۹ | ۳/۰۶ | ۵/۲۸ | ۰/۶۳ |
| | I | ۱/۵۱ | ۱/۶۲ | ۱/۵۸ | ۱/۰۵ | ۱/۵۷ | ۲/۱۲ | ۱/۲۵ | ۱/۵۰ | ۰/۱۳ |
| | Ho | ۰/۹۰ | ۰/۹۳ | ۱/۰۰ | ۰/۹۳ | ۱/۰۰ | ۰/۹۰ | ۰/۶۳ | ۰/۹۰ | ۰/۰۵ |
| | He | ۰/۷۳ | ۰/۷۸ | ۰/۷۵ | ۰/۶۳ | ۰/۷۷ | ۰/۸۷ | ۰/۶۷ | ۰/۷۵ | ۰/۰۳ |
| | WHE | ۰/۷۵ | ۰/۷۹ | ۰/۷۶ | ۰/۶۵ | ۰/۷۸ | ۰/۸۹ | ۰/۶۸ | ۰/۷۵ | ۰/۰۳ |
| | F | ۰/۲۵- | ۰/۲۰- | ۰/۳۵- | ۰/۵۸- | ۰/۳۰- | ۰/۰۳- | ۰/۰۶ | ۰/۲۲- | ۰/۰۷ |
| بوشهر | N | ۳۰/۰۰ | ۳۰/۰۰ | ۳۰/۰۰ | ۳۰/۰۰ | ۳۰/۰۰ | ۲۹/۰۰ | ۳۰/۰۰ | ۲۹/۸۶ | ۰/۱۵ |
| | Na | ۵/۰۰ | ۸/۰۰ | ۵/۰۰ | ۵/۰۰ | ۶/۰۰ | ۹/۰۰ | ۵/۰۰ | ۵/۸۶ | ۰/۷۵ |
| | Ne | ۳/۶۹ | ۵/۵۹ | ۳/۵۷ | ۲/۷۱ | ۵/۱۶ | ۶/۳۲ | ۲/۸۸ | ۵/۲۶ | ۰/۵۳ |
| | I | ۱/۵۱ | ۱/۸۲ | ۱/۵۰ | ۱/۰۹ | ۱/۷۱ | ۲/۰۱ | ۱/۱۸ | ۱/۵۲ | ۰/۱۳ |
| | Ho | ۰/۹۳ | ۰/۹۳ | ۱/۰۰ | ۰/۹۷ | ۱/۰۰ | ۰/۷۶ | ۰/۵۰ | ۰/۸۶ | ۰/۰۸ |
| | He | ۰/۷۳ | ۰/۸۲ | ۰/۷۲ | ۰/۶۳ | ۰/۸۱ | ۰/۸۵ | ۰/۶۵ | ۰/۷۵ | ۰/۰۳ |
| | WHE | ۰/۷۵ | ۰/۸۳ | ۰/۷۳ | ۰/۶۵ | ۰/۸۲ | ۰/۸۶ | ۰/۶۶ | ۰/۷۶ | ۰/۰۳ |
| | F | ۰/۲۸- | ۰/۱۵- | ۰/۳۹- | ۰/۵۳- | ۰/۲۵- | ۰/۱۰ | ۰/۳۹ | ۰/۱۶- | ۰/۱۲ |
| دیر و گنگان | N | ۳۰/۰۰ | ۳۰/۰۰ | ۳۰/۰۰ | ۲۹/۰۰ | ۳۰/۰۰ | ۲۹/۰۰ | ۳۰/۰۰ | ۲۹/۷۱ | ۰/۱۸ |
| | Na | ۵/۰۰ | ۸/۰۰ | ۵/۰۰ | ۳/۰۰ | ۵/۰۰ | ۱۰/۰۰ | ۵/۰۰ | ۵/۵۷ | ۰/۹۵ |
| | Ne | ۳/۱۱ | ۵/۶۱ | ۲/۱۵ | ۲/۲۹ | ۳/۵۹ | ۷/۱۰ | ۲/۵۵ | ۳/۷۷ | ۰/۷۱ |
| | I | ۱/۲۵ | ۱/۸۵ | ۰/۸۵ | ۰/۹۱ | ۱/۵۳ | ۲/۱۰ | ۱/۱۷ | ۱/۳۶ | ۰/۱۸ |
| | Ho | ۰/۹۷ | ۱/۰۰ | ۱/۰۰ | ۰/۷۶ | ۰/۹۷ | ۰/۹۳ | ۰/۲۳ | ۰/۸۵ | ۰/۱۱ |
| | He | ۰/۶۸ | ۰/۸۲ | ۰/۵۳ | ۰/۵۶ | ۰/۷۲ | ۰/۸۶ | ۰/۶۱ | ۰/۶۸ | ۰/۰۵ |
| | WHE | ۰/۶۹ | ۰/۸۵ | ۰/۵۵ | ۰/۵۷ | ۰/۷۳ | ۰/۸۷ | ۰/۶۲ | ۰/۷۰ | ۰/۰۵ |
| | F | ۰/۵۳- | ۰/۲۲- | ۰/۸۸- | ۰/۳۵- | ۰/۳۵- | ۰/۰۸- | ۰/۶۲ | ۰/۲۵- | ۰/۱۷ |
| بندرعباس | N | ۳۰/۰۰ | ۲۹/۰۰ | ۳۰/۰۰ | ۳۰/۰۰ | ۳۰/۰۰ | ۳۰/۰۰ | ۳۰/۰۰ | ۲۹/۸۶ | ۰/۱۵ |
| | Na | ۵/۰۰ | ۸/۰۰ | ۵/۰۰ | ۶/۰۰ | ۶/۰۰ | ۹/۰۰ | ۵/۰۰ | ۶/۲۹ | ۰/۶۱ |
| | Ne | ۳/۶۷ | ۵/۲۹ | ۵/۳۰ | ۳/۵۲ | ۵/۲۳ | ۵/۰۰ | ۳/۵۷ | ۵/۳۵ | ۰/۳۲ |
| | I | ۱/۵۵ | ۱/۸۵ | ۱/۵۱ | ۱/۵۰ | ۱/۷۲ | ۱/۷۶ | ۱/۵۱ | ۱/۶۰ | ۰/۰۶ |
| | Ho | ۰/۹۰ | ۱/۰۰ | ۱/۰۰ | ۰/۷۳ | ۰/۹۰ | ۱/۰۰ | ۰/۵۳ | ۰/۸۷ | ۰/۰۷ |
| | He | ۰/۷۳ | ۰/۸۱ | ۰/۷۷ | ۰/۷۱ | ۰/۸۱ | ۰/۸۰ | ۰/۷۱ | ۰/۷۶ | ۰/۰۲ |
| | WHE | ۰/۷۵ | ۰/۸۳ | ۰/۷۸ | ۰/۷۲ | ۰/۸۲ | ۰/۸۱ | ۰/۷۲ | ۰/۷۷ | ۰/۰۲ |
| | F | ۰/۲۵- | ۰/۲۳- | ۰/۳۰- | ۰/۰۵- | ۰/۱۱- | ۰/۲۵- | ۰/۲۵ | ۰/۱۳- | ۰/۰۷ |

خورموسی و گناوه به ترتیب با ۰/۰۷ و ۰/۹۳ محاسبه گردید (جدول ۳). آنالیز PCA براساس فاصله ژنتیکی و شباهت ژنتیکی نشان داد که جمعیت‌ها بوشهر و دیر در ارتباط نزدیک با یکدیگر و خورموسی و گناوه شباهت

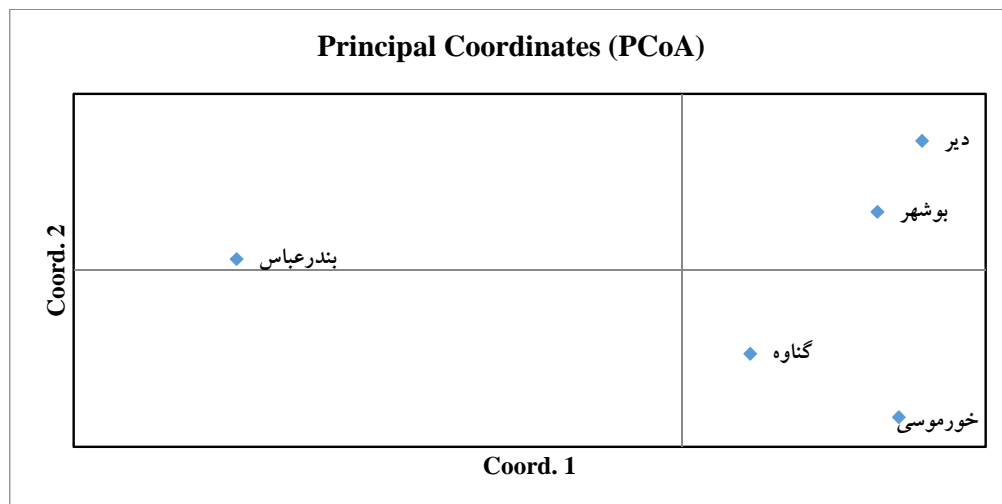
بر اساس شاخص Nei (۱۹۷۲) بیش‌ترین فاصله ژنتیکی و کمترین شباهت ژنتیکی بین جمعیت‌های خورموسی و بندرعباس به ترتیب با ۰/۲۳ و ۰/۸۰ و کمترین فاصله ژنتیکی و بیش‌ترین شباهت ژنتیکی بین جمعیت‌های

بالایی را نشان می‌دهند. جمعیت بندرعباس یک جمعیت مجزا را نشان می‌دهد (شکل ۲). میزان شاخص F_{st} در حد پایینی می‌باشد کمترین میزان بین جمعیت‌های گناوه و

جدول ۳- شاخص‌های تمایز جمعیتی ماهی صیبتی

| جمعیت ۱ | جمعیت ۲ | Nei D | Nei I | Fst | Nm | Rst | P(rand >= data) |
|---------|----------|-------|-------|------|-------|------|-----------------|
| خورموسی | گناوه | ۰/۰۷ | ۰/۹۳ | ۰/۰۱ | ۱۹/۲۹ | ۰/۱۰ | ۰/۰۰ |
| خورموسی | بوشهر | ۰/۱۲ | ۰/۸۹ | ۰/۰۲ | ۱۲/۲۶ | ۰/۲۵ | ۰/۰۰ |
| گناوه | بوشهر | ۰/۰۵ | ۰/۹۵ | ۰/۰۱ | ۳۲/۵۶ | ۰/۰۳ | ۰/۰۶ |
| خورموسی | دیر | ۰/۱۲ | ۰/۸۹ | ۰/۰۲ | ۱۰/۲۶ | ۰/۲۱ | ۰/۰۰ |
| گناوه | دیر | ۰/۱۲ | ۰/۸۸ | ۰/۰۲ | ۱۰/۳۳ | ۰/۰۵ | ۰/۰۲ |
| بوشهر | دیر | ۰/۰۶ | ۰/۹۵ | ۰/۰۱ | ۱۹/۰۵ | ۰/۰۲ | ۰/۰۷ |
| خورموسی | بندرعباس | ۰/۲۳ | ۰/۸۰ | ۰/۱ | ۶/۵۹ | ۰/۰۸ | ۰/۰۰ |
| گناوه | بندرعباس | ۰/۱۵ | ۰/۸۶ | ۰/۰۲ | ۱۰/۷۶ | ۰/۰۷ | ۰/۰۰ |
| بوشهر | بندرعباس | ۰/۲۰ | ۰/۸۱ | ۰/۰۳ | ۸/۲۹ | ۰/۱۵ | ۰/۰۰ |
| دیر | بندرعباس | ۰/۱۲ | ۰/۸۰ | ۰/۰۵ | ۱۶/۱۵ | ۰/۱۰ | ۰/۰۰ |

۱



شکل ۲- قرابت میان جمعیت ماهی صیبتی با استفاده از تجزیه مؤلفه‌های اصلی

خورموسی محاسبه گردید (جدول ۳). براساس آنالیز واریانس مولکولی دو شاخص F_{st} و R_{st} ، بین جمعیت‌های گناوه، بوشهر و دیر اختلاف معنی‌داری وجود ندارد. بین جمعیت‌های گناوه و خورموسی در سطح ۵ درصد اختلاف معنی‌دار می‌باشد. جمعیت بندرعباس و خورموسی دارای اختلاف ژنتیکی معنی‌دار بودند همچنین جمعیت بندرعباس

در آزمون AMOVA تمایز جمعیت‌های مختلف به صورت دویبه‌دو براساس شاخص R_{st} محاسبه شد و براین اساس بیش‌ترین میزان R_{st} میان جمعیت بندرعباس و خورموسی (۰/۰۲۵) و کمترین میزان شاخص R_{st} بین جمعیت گناوه و خورموسی مشاهده گردید. حداکثر میزان مهاجرت ($Nm=۳۲/۰۲$) بین جمعیت‌های گناوه و بوشهر و کمترین میزان مهاجرت ($Nm=۶/۵۱$) بین جمعیت‌ها بندرعباس و

با سایر جمعیت‌ها اختلاف ژنتیکی معنی‌داری را نشان می‌دهند (جدول ۳).
 اختلاف تنوع ژنتیکی براساس سلسله مراتب جمعیتی، ۵ جمعیت و ۳ منطقه براساس آزمون AMOVA در سطح احتمال ۰/۰۱ براساس شاخص R_{st} محاسبه گردید. براین اساس بیش‌ترین درصد اختلاف ۸۷ درصد مربوط به بین افراد درون جمعیت‌ها می‌باشد و کمترین درصد اختلاف ژنتیکی ۳ درصد به تفاوت میان جمعیت‌های در مناطق فرض شده بود. و اختلاف ژنتیکی بین مناطق فرض شده

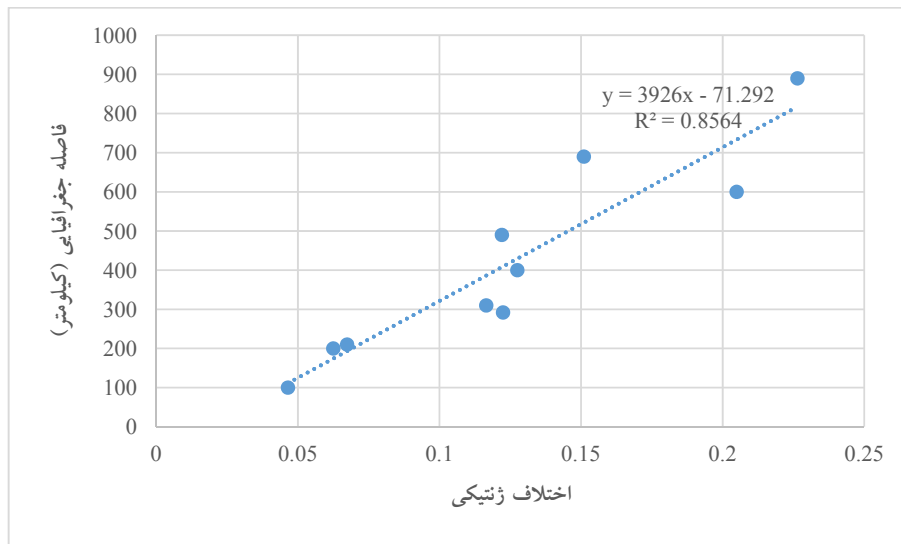
۱۱ درصد محاسبه گردید (جدول ۴). شاخص R_{st} نشان داد که اختلاف ژنتیکی معنی‌داری بین جمعیت بندرعباس با ۴ جمعیت دیگر وجود دارد ($P < 0/01$). همچنین جمعیت خورموسی با بوشهر و دیر در سطح ۹۹ درصد اختلاف ژنتیکی معنی‌دار دارد اما با جمعیت گناوه در سطح ۹۵ درصد اختلاف معنی‌دار می‌باشد. جمعیت‌های گناوه، بوشهر و دیر اختلاف ژنتیکی معنی‌داری را با یکدیگر نشان نمی‌دهند ($P < 0/01$).

جدول ۴- آزمون تفاوت ژنتیکی بین جمعیت‌ها بربر اساس آزمون R_{st}

| اختلاف واریانس | df | SS | MS | Est. Var. | درصد | |
|---------------------------|-----|--------|--------|-----------|------|------------|
| بین گروهها | ۲ | ۳۹۹/۲۵ | ۱۹۹/۴۱ | ۱/۸۸۰ | %۱۱ | $P < 0/01$ |
| بین جمعیت‌های درون گروهها | ۲ | ۹۲/۸۴ | ۴۶/۴۲ | ۰/۴۶۰ | %۳ | |
| بین افراد درون جمعیت‌ها | ۱۷۰ | ۴۳۵۷ | ۲۸/۳۸ | ۱۳/۸۸ | %۸۷ | $P < 0/01$ |
| کل | ۳۳۹ | ۴۸۵۰/۶ | | ۱۷/۱۲ | %۱۰۰ | |

دهند میزان بالایی از همبستگی می‌باشد ($P < 0/01$). (شکل ۴).

آزمون مانتل براساس فاصله ژنتیکی و فاصله جغرافیایی بین جمعیت‌ها نشان می‌دهد که همبستگی بین فاصله جغرافیایی و اختلاف ژنتیکی وجود دارد میزان R نشان



شکل ۴- اختلاف ژنتیکی جمعیت‌های ماهی صیبتی در مقایسه بافاصله جغرافیایی بین جمعیت‌ها

تست تنگنای ژنتیکی جمعیت‌های ماهی صیبتی براساس مدل جهش دوفازی (TPM)، مدل جهش گام‌به‌گام (SMM) و بی‌نهایت (IAM) محاسبه شد بر این اساس در هیچ جمعیتی تنگنای ژنتیکی مشاهده نمی‌گردد (جدول ۵).

تست تنگنای ژنتیکی جمعیت‌های ماهی صیبتی براساس مدل جهش دوفازی (TPM)، مدل جهش گام‌به‌گام

جدول ۵- تست تنگناری ژنتیکی جمعیت‌های ماهی صبیتی (مدل جهش دوفازی (TPM)، مدل جهش گام‌به‌گام (SMM) و بی‌نهایت (IAM))

| Mod-shift | P _{TPM} | P _{SMM} | P _{IAM} | جمعیت |
|-----------|------------------|------------------|------------------|----------|
| L-shaped | ۰/۰۲۲ | ۰/۰۲۶ | ۰/۰۲۳ | خورموسی |
| L-shaped | ۰/۰۲۱ | ۰/۰۲۳ | ۰/۰۲۵ | گناوه |
| L-shaped | ۰/۰۲۳ | ۰/۰۲۵ | ۰/۰۲۴ | بوشهر |
| L-shaped | ۰/۰۲۲ | ۰/۱۴ | ۰/۱۹ | دیر |
| L-shaped | ۰/۲۵ | ۰/۲۴ | ۰/۴۲ | بندرعباس |

بحث

تنوع اللی و ژنی این‌گونه باشد. کاهش تعداد الل واقعی و مؤثر در سطح جمعیت بیانگر کاهش تنوع ژنتیکی است. این تغییر بصورت کاهش فراوانی الل و از بین رفتن الل‌های نادر صورت می‌گردد (۲۵).

میانگین هتروزیگوسیتی مورد انتظار و مشاهده شده به ترتیب ۰/۷۲ و ۰/۸۸ محاسبه گردید. این میزان از تنوع ژنتیکی در حد متوسط گونه‌های دریایی می‌باشد (۱۰). این میزان از هتروزیگوسیتی در گونه‌های *P. major* و *A. schlegelii* در آبهای ژاپن و آبهای دریای چین نیز گزارش شده است (۲۱ و ۲۸). اما میزان هتروزیگوسیتی مورد انتظار و مشاهده شده بدست آمده در مطالعه سایزنی و همکاران (۳۳) در ماهی شانک زرد باله حد بسیار بالا (۰/۹۱) بوده است. بطور کلی در مطالعات جمعیتی میزان تنوع بالایی شانک ماهیان گزارش شده است (۳۳ و ۳۷). در مطالعه گذشته (۴) با روش AFLP میزان متوسطی از تنوع ژنتیکی در ماهی صبیتی گزارش شده است. آنالیز میکروستلایتی ماهی صبیتی نشان می‌دهد که تنوع ژنتیکی این‌گونه در حد متوسطی در جمعیت‌های خلیج فارس می‌باشد. به‌طورکلی تعداد کم الل نشانه‌ای از تنگنای ژنتیکی است که در شرایط جمعیت وحشی، ممکن است به دلیل جدا شدن جمعیت و یا کاهش شدید اندازه جمعیت مؤثر به دلیل صید و بهره‌برداری زیاد رخ دهد (۳). بیشترین هتروزیگوسیتی در جمعیت بندرعباس می‌باشد. که می‌تواند ناشی از ارتباط با جمعیت‌های دریای عمان و جمعیت‌های بزرگتر این‌گونه باشد. در سایر مناطق اختلافی در تنوع ژنتیکی وجود ندارد. پس از اعمال ضریب

متوسط تعداد الل مشاهده شده در جایگاه‌های مختلف ماهی صبیتی ۷ الل می‌باشد که نسبت به متوسط تعداد الل در ماهیان دریایی پایین‌تر است. به‌طورکلی متوسط تعداد الل در هر لوکوس در ماهیان آب‌شور ۲۰/۶ الل است (۱۰). تعداد الل بدست آمده در همین جایگاه‌ها در ماهی شانک (*A. latus*) (۳۸) نیز بیشتر گزارش شده است. تعداد الل در گونه‌های خانواده شانک ماهیان بسیار متفاوت گزارش شده است برای مثال تعداد الل واقعی در ماهی شانک زرد باله در مطالعه سایزنی و همکاران (۳۳) از ۲۲ تا ۴۷ عدد در جایگاه‌های مختلف می‌باشد. در ماهی *Pagrus major* تعداد ۴۷ الل در سه لوکوس در ۸ جمعیت در جنوب غرب ژاپن بدست آمد (۲۸) در حالیکه که بین ۱۵ تا ۳۲ الل در جمعیت‌های غرب ژاپن برای همین‌گونه گزارش شده است (۲۹). در ماهی شانک سیاه تعداد ۶ تا ۲۱ الل در جایگاه‌های میکروستلایتی بدست آمده است (۲۰) در حالیکه در همین‌گونه در جمعیت خلیج هیروشیما تعداد ۷ تا ۲۴ الل بدست آمده است (۱۵). تعداد الل مشاهده در ماهی صبیتی نسبت به دیگرگونه‌های این خانواده بسیار پایین‌تر می‌باشد. مهمترین دلیل آن استفاده از پرایمرهای غیراختصاصی در این تحقیق می‌باشد همچنین نتایج نیز نشان داد که الل‌های نول در جایگاه‌ها وجود دارد. ماهی صبیتی در مقایسه با ماهی شانک زرد باله یا شانک سیاه دارای پراکنش جهانی نمی‌باشد و محدود به خلیج فارس، خلیج عدن و دریای عمان است این محدودیت جمعیتی و پراکنش می‌تواند عاملی در کاهش

و دارای مهاجرت‌های عمودی می‌باشد نیز مطابق است (۴).

آنالیز واریانس مولکولی به‌عنوان یک آنالیز آماری، ابزاری مناسب برای مشخص کردن ساختار جمعیت و میزان تمایز ژنتیکی بین جمعیت‌ها است (۱۳). نتایج آزمون واریانس مولکولی در این بررسی براساس شاخص R_{st} ، تنوع ژنتیکی بالایی را در داخل جمعیت‌ها (۸۷ درصد) و اختلاف ژنتیکی پایین بین جمعیت‌ها (۱۱ درصد) مشاهده شد. میزان R_{st} بین جمعیت‌های مختلف نشان داد که جمعیت بندرعباس از جمعیت بوشهر، خورموسی، دیر و گناوه متمایز می‌باشد اما نمونه‌های سه منطقه بوشهر، گناوه و دیر تمایزی باهم ندارند. عدم وجود اختلاف بین جمعیت‌های ماهی صیبتی به دلیل نرخ بالایی مهاجرت ($N_m > 10$) می‌باشد هرگاه $N_m > 1$ جریان ژنی اصلی‌ترین عامل در ایجاد تمایز ژنتیکی است (۲۵). دوره زندگی ماهی صیبتی در مرحله لاروی و نوجوانی بصورت پلاژیک بوده و به آن اجازه می‌دهد که با جریان‌های جابجا و جمعیت‌ها مخلوط گردند (۳۳). مهمترین جریان دریایی خلیج فارس جریان آب از سمت تنگه هرمز به سمت شمال خلیج فارس، در جهت سواحل ایران می‌باشد این جریان تا میانه خلیج فارس شدیدتر از قسمت شمالی در خوزستان است (۲۱). همچنان که در جمعیت بندرعباس به دلیل فاصله جغرافیایی و نوع جریان‌های منطقه با جمعیت‌های شمال خلیج فارس اختلاف ژنتیکی را نشان داد. این جریان‌های آبی در انتقال لارو ماهیان و موجودات نقش مهمی دارد. در آب‌های غرب چین نیز اختلاف ژنتیکی بین جمعیت‌های ماهی شانک زرد باله مشاهده نشده است. سایزنی و همکاران (۳۳) دلیل اصلی عدم تمایز جمعیتی را جریان بالای ژنی بین جمعیت‌ها عنوان کردند. مطالعات چین و همکاران (۱۹) نیز نشان داد که ماهی شانک زرد باله در آب‌های تایوان دارای یک جمعیت است که اختلاف ژنتیکی کمی با یکدیگر دارند. که بدلیل مانسون فصل زمستان، جریان‌های سطحی آب باعث پراکنش لاروها و بچه ماهیان

بونفرونی، ۳۰ تست از مجموع ۳۵ تست در لوکوس‌های مختلف انحراف از تعادل هاردی-واینبرگ را نشان می‌دهند. در ۱۰ جایگاه میکروستلایتی بررسی شده در ماهی شانک در شرق ژاپن تنها در یک مورد عدم تعادل مشاهده گردیده است (۳۳). عدم تعادل پیوستگی به‌عنوان یکی از دلایل انحراف از تعادل هاردی واینبرگ در ۴ لوکوس مشاهده گردید. همچنین ال‌های نول در جایگاه‌ها مشاهده می‌گردد. انحراف از تعادل هاردی-واینبرگ را می‌توان به وجود ال‌های نول در جمعیت‌های مورد بررسی نسبت داد. در واقع وجود ال‌های نول در ماهی پدیده‌های کاملاً عادی می‌باشد وجود این ال‌ها در توارث میکروستلایت در ماهیان مورد تأیید قرار گرفته است (۲۵). اگرچه تنها در دو جایگاه ال‌های نول مشاهده گردید. عدم تعادل هاردی واینبرگ در ماهیان دریایی دیگر از جمله سوکلا (۱)، ماهی شیر (۲) مشاهده می‌گردد. در این تحقیق، افزایش هتروزیگوسیتی مشاهده می‌شود زیرا که میزان هتروزیگوسیتی مشاهده شده از میزان هتروزیگوسیتی مورد انتظار بیشتر بود. که یکی دیگر از دلایل انحراف از تعادل می‌باشد (۲۳).

در این بررسی میزان F_{st} بین جمعیت‌های مختلف ماهی صیبتی از ۰/۰۱ تا ۰/۱ بود این میزان نشان‌دهنده تمایز پایین بین جمعیت‌ها می‌باشد (۳۴). با توجه به جریان ژنی بالا بین مناطق، پایین بودن تمایز قابل توجهی می‌باشد. با تبادل افراد، تبادل ژن‌ها نیز پیش می‌آید و تبادل بیشتر منجر به کم شدن تمایز ژنتیکی بین جمعیت‌ها می‌گردد. در بررسی حیوانی (۴)، کمترین مقدار F_{st} بین جمعیت بوشهر و خورموسی (۰/۰۹) و بیشترین مقدار F_{st} بین جمعیت مطاف و خورموسی (۰/۲۱۹) محاسبه شد. تمایز ژنتیکی تقریباً بالا بین جمعیت مطاف در شرق خلیج فارس و جمعیت‌های بوشهر و خورموسی در غرب خلیج فارس وجود داشت. ایشان علت تمایز را ناشی از مهاجرت کم جمعیت‌های این‌گونه بین مناطق مورد پراکنش عنوان نمودند که با بیولوژی این‌گونه که سرعت شنای کندی دارد

منطقه با مناطق مجاور خود دارای تبادل ژنی هستند و با افزایش فاصله میزان اختلاف ژنتیکی افزایش می‌یابد.

جریان‌های دریایی نقش مهمی در پراکنش لارو و بچه ماهیان شانک می‌باشند (۳۳) در نتیجه عوامل جغرافیای در دریا می‌تواند محدودکننده ارتباط بین جمعیت‌ها باشد. با توجه به اینکه در دریاها عوامل محدودکننده کم هستند عامل تعیین‌کننده برای جدایی جمعیت‌ها فاصله می‌باشد. جمعیت‌های ماهی *Sparus aurata* در داخل مدیترانه (آبهای ایتالیا) متمایز از جمعیت‌های اقیانوس اطلس هستند (۱۳). در آبهای چین باوجود جریان‌های دریایی اما جمعیت‌های متمایزی در شمال و جنوب دریایی چین (بیش از ۱۰۰۰ کیلومتر) شناسایی گردیده است (۳۵) اما در غرب ژاپن در فاصله ۳۰۰ کیلومتر جمعیت متمایزی مشاهده نگردیده است. در این مطالعه نیز جمعیت‌های بافاصله کمتر از ۳۰۰ کیلومتر باهم متمایز نمی‌باشند اما جمعیت‌های بندرعباس و جمعیت‌های درون خلیج فارس بافاصله بیش از ۶۰۰ کیلومتر از یکدیگر متمایز هستند.

بطور کلی نتایج نشان داد که تنوع اللی بسیار پایینی در ماهی صبیتی باله وجود دارد که احتمالاً بدلیل نوع جایگاه‌های غیراختصاصی بکار گرفته شده باشد بطور کلی تنوع ژنتیکی بدست آمده در جمعیت‌ها ماهی صبیتی در حد متوسطی است. براساس اختلاف ژنتیکی و آنالیز واریانس مولکولی، جمعیت بندرعباس از جمعیت‌های درون خلیج فارس متمایز می‌باشد و همچنین جمعیت خورموسی می‌تواند یک جمعیت متمایز از جمعیت‌های بوشهر و دیر باشد. جمعیت‌های ماهی صبیتی اگرچه از یکدیگر متمایز می‌باشند اما کاملاً جمعیت‌های مجزا و خاص یک منطقه نمی‌باشند و دارای تبادل ژنی بالایی با یکدیگر می‌باشند. بنابراین می‌توان گفت عامل اصلی تمایز جمعیت ماهی صبیتی فاصله جغرافیایی و جریان‌های دریایی از تنگه هرمز به سمت شمال خلیج فارس می‌باشد.

می‌گردد همچنین جریان‌های اقیانوسی در پراکنش لاروها این‌گونه مؤثر هستند. اما جونگ و همکاران (۲۰) عدم اختلاف ژنتیکی بین جمعیت‌های ماهی *A. schlegelii* را پراکنش تصادفی تخم‌ها بدلیل مهاجرت والدین می‌دانند.

برخی از اعضای خانواده شانک ماهیان دارای مهاجرت گسترده در یک منطقه محدود در طول چرخه زندگی خود هستند (۱۹ و ۲۰). به‌عنوان مثال مهاجرت ماهی *A. butchery* در مصب رودخانه انجام می‌گیرد (۱۸). اما کرواس و همکاران (۲۲) عنوان کردند که ماهی *Chrysoblephus laticeps* مهاجرت محدود در حد ۳ کیلومتر دارند. به‌طور مشابه، جمعیت‌های *Diplodus sargus* تمایل به ماندن در یک محدوده کوچک یا مصب را دارند. رفتارشناسی شانک ماهیان، نشان می‌دهد که مولدین دارای مهاجرت بالایی نمی‌باشند بنابراین، جریان ژن بالا در جمعیت‌ها به‌احتمال زیاد به دلیل پراکنندگی تصادفی تخم دریایی و لارو این ماهیان است (۳۳). در جمعیت‌های ماهی صبیتی در خلیج فارس نیز اختلافی بین مناطق بوشهر، گناوه، دیر و خورموسی مشاهده نمی‌گردد که می‌تواند بدلیل فاصله کم این مناطق و در نتیجه جریان ژنی بالا باشد. حداکثر فاصله بین این مناطق ۳۰۰ کیلومتر است که با توجه به میزان مهاجرت ماهی صبیتی احتمال تمایز بین جمعیت در این مکان کم می‌باشد. در مقابل در منطقه بندرعباس بافاصله جغرافیایی بیش از ۶۰۰ کیلومتر دارای اختلاف معنی‌دار با جمعیت‌های بوشهر و دیر بود. برای مثال جمعیت‌های ماهی شانک را در دریای چین در شمال و جنوب بدلیل فاصله زیاد از یکدیگر متمایز می‌باشند (۳۵). یا جمعیت‌های ماهی *Sparus aurata* در آبهای مدیترانه از جمعیت‌های این‌گونه در داخل اقیانوس اطلس متفاوت هستند. عامل فاصله جغرافیایی را دلیل تمایز بین این جمعیت‌ها ذکر شده است (۱۳). آزمون مانتل براساس فاصله ژنتیکی نشان داد که عامل فاصله جغرافیایی در تمایز جمعیت‌های ماهی صبیتی نقش مهمی دارد. ماهیان هر

منابع

- ۱- سالاری علی‌آبادی، م. ع.، ۱۳۸۷. بررسی ساختار ژنتیکی جمعیت‌های ماهی سوکلا (*Rachycentron canadum*) در خلیج فارس و دریای عمان با استفاده از روش مولکولی میکروستلایت، پایان‌نامه دکتری، دانشگاه علوم و فنون دریایی خرمشهر، ۱۹۱ صفحه.
- ۲- عابدی، ا.، ذوالقرنین، ح.، سالاری علی‌آبادی، م. ع.، محمدی، م.، و قاسمی، ا.، ۱۳۸۹. بررسی تنوع ژنتیکی جمعیت‌های شبر ماهی (*Scomberomorus commerson*) در خلیج فارس با استفاده از نشانگرهای میکروستلایت، پایان‌نامه کارشناسی ارشد، دانشگاه علوم و فنون دریایی خرمشهر، ۱۰۹ صفحه.
- ۳- رضایی، م.، شعبانی، ع.، شعبان پور، ب.، و کشیری، ح.، ۱۳۹۱. تنوع ریزماهوره ای و ساختار ژنتیک جمعیت ماهی سفید
- Prepared and printed with the support of the Danish International Development Agency (DANIDA). FAO, Rome. Vol, PP: 1-6.
- 13- Franchini, P., Sola, L., Crosetti, D., Milana, V., Rossi, A. R., 2012. Low levels of population genetic structure in the gilthead sea bream, *Sparus aurata*, along the coast of Italy. *ICES, J Mar Sci*, 69. PP: 41-50.
- 14- Garcia, A. A. F., Benchimo, L. L., Barbosa, A. M. M., Geraldi, I. O., Souza, Jr. C. L., and de Souza, A. P., 2004. Comparison of RAPD, RFLP, AFLP and SSR markers for diversity studies in tropical maize inbred lines. *Genetics and Molecular Biology*, 27, PP: 579-588.
- 15- Gonzalez, E. B., Umino, T., and Nagasawa, K., 2008. Stock enhancement programme for black sea bream, *Acanthopagrus schlegelii* (Bleeker), in Hiroshima Bay, Japan: a review. *Aquaculture research*, 39(12), PP: 1307-1315.
- 16- Goudet, J., 1995. FSTAT (version 1.2): a computer program to calculate F-statistics. *Journal of heredity*, 86(6), PP: 485-486.
- 17- Hard, J. J., 1995. Genetic monitoring of life-history characters in salmon supplementation: problems and opportunities. *American fisheries society symposium*. 115, PP: 212-225.
- 18- Hindell, J. S., Jenkins, G. P., and Womersley, B., 2008. Habitat utilisation and movement of black bream *Acanthopagrus butcheri* (Sparidae)
- ۴- حیوانی، ز.، ۱۳۹۴. بررسی تنوع ژنتیکی ماهی صبیتی (*Acanthopagrus Curvieri*. Day, 1878) در سواحل شمالی خلیج فارس با استفاده از روش AFLP، پایان‌نامه کارشناسی ارشد، شیلات گرایش تکثیر و پرورش، دانشگاه آزاد واحد بوشهر، ۸۸ صفحه.
- ۵- مرشدی، و.، آق، ن.، مرمضی، ج.، نوری، ف.، و محمدیان، ف.، ۱۳۹۴. بررسی فعالیت آنزیم‌های گوارشی، ترکیب بیوشیمیایی لاشه و فلور باکتریایی روده بچه ماهی صبیتی (*Sparidentex hasta*) در پاسخ به سطوح مختلف زایلواولیگوساکارید، فیزیولوژی و تکوین جانوری (علوم زیستی)، دوره ۸، شماره ۴ (پیاپی ۳۱).
- 6- Adams, B. K., and Hutchings, J. A., 2003. Microgeographic population structure of brook charr: a comparison of microsatellite and mark-recapture data. *Journal of fish biology*, 62(3), PP: 517-533.
- 7- Avise, J., 2004. *Molecular markers, Natural History and Evolution*. Chapman and Hall, New York, USA, 511 p.
- 8- Chen, L., Li, Q., and Yang, J., 2008. Microsatellite genetic variation in wild and hatchery populations of the sea cucumber (*Apostichopus Japonicus Selenka*) from northern China. *Aquaculture, Research*. 39, PP: 1541-1549.
- 9- Chistiakov, D. A., Hellemans, B., Haley, C. S., Law, A. S., Tsigenopoulos, C. S., Kotoulas, G., Bertotto, D., Libertini, A., and Volckaert, F. A., 2005. A microsatellite linkage map of the European sea bass *Dicentrarchus labrax* L. *Genetics*, No. 170, PP: 1821-1826.
- 10- Dewoody, J. A., and Avise, J. C., 2000. Microsatellite variation in Marine, freshwater and anadromous fishes compare with other animal, *Journal of fish biology*. 56, PP: 461-473.
- 11- Excoffier, L., and Lischer, H. E., 2010. Arlequin suite ver 3.5: a new series of programs to perform population genetics analyses under Linux and Windows. *Molecular ecology resources*, 10(3), PP: 564-567.
- 12- Fischer, W., and Bianchi, G., 1984. *FAO species identification sheets for fishery purposes. Western Indian Ocean (Fishing Area 51)*.

- in an Australian estuary. *Marine Ecology Progress*, 366, PP: 219-229.
- 19- Jean, C. T., Lee, S. C., and Chen, C. T., 2000. Population structure of yellowfin seabream, *Acanthopagrus latus*, from the waters surrounding Taiwan, based on mtDNA sequences. *Ichthyology Research*, 47, PP: 187-192.
- 20- Jeong, D. S., Umino, T., Kuroda, K., Hayashi, M., Nakagawa, H., Kang, J. C., Morishima, K. E., and Arai, K., 2003. Genetic divergence and population structure of black sea bream *Acanthopagrus schlegelii* inferred from microsatellite analysis. *Fish Science*, 69, PP: 896-902.
- 21- Kämpf, J., and Sadrinassab, M., 2006. The circulation of the Persian Gulf: A numerical study. *Ocean Science*, 2, PP: 27-41.
- 22- Kerwath, S. E., Götz, A., Attwood, C. G., Cowley, P. D., and Sawyer, W. H. H., 2007. Movement pattern and home range of Roman, *Chrysoblephus laticeps*. *African Journal Marine Science*, 29, PP: 93-103.
- 23- Li, J., and Ou, Y. J., 2000. Studies on the reproductive biology of the pond-cultured *Sparus latus* Houttuyn in the Coast of Shenzhen Bay. *Journal of Zhejiang Ocean University (Natural Science)*, 19, PP: 139-143.
- 24- Lin, Y., Chen, S., Li, J., and Li, B., 2005. Assessing the genetic structure of three Japanese flounder (*Paralichthys olivaceus*) stock by microsatellite markers. *Aquaculture*, 243(1-4), PP: 103-111.
- 25- Liu, Z., 2007. *Aquaculture Genome Technologies: First edition*, Blackwell Publishing, Australia, 551p.
- 26- Parvez, K., and Al-Marzouk, A., 2000. First observations on natural sex reversal in a protandrous bream (*Sparidentex hasta*: Sparidae) from Kuwait. *Pakistan Journal of Zoology*, 32(3), PP: 229-244.
- 27- Peakall, R., and Smouse, P. E., 2006. GENALEX 6: genetic analysis in excel. Population genetic software for teaching and research. *Molecular Ecology*, 6, PP: 288-295.
- 28- Perez-Enriquez, R., and Taniguchi, N., 1999. Genetic structure of red sea bream population off Japan and southwest Pacific, using microsatellite DNA markers. *Fish Science*, 65, PP: 23-30.
- 29- Perez-Enriquez, R., Takemura, M., Tabata, K., and Taniguchi, N., 2001. Genetic diversity of red sea bream *Pagrus major* in western Japan in relation to stock enhancement. *Fish Science*, 67, PP: 71-78.
- 30- Rousset, F., 2008. Genepop: a complete re-implementation of the genepop software for Windows and Linux. *Molecular ecology resources*, 8(1), PP: 103-106.
- 31- Sambrook, J., and Russell, R. W., 2001. *Molecular cloning: A laboratory manual*, 3rd ed. Cold spring harbor laboratory press, cold spring harbor, N.Y. PP: 1100.
- 32- Sanguinetti, C. J., Dias Neto, E., and Simpson, A. J. G., 1994. Rapid silver staining and recovery of PCR products separated on polyacrylamide gels. *Biotechniques*, 17, PP: 915-919.
- 33- Syazni, K. A., Satoshi, T., Kanako, U., Kenichi, O., and Tetsuya, U., 2015. Genetic structure of yellowfin black seabream *Acanthopagrus latus* in western Japan based on microsatellite and mtDNA marker analyses. *Aquaculture Science*, 63(1), PP: 17-27.
- 34- Tamura, K., Peterson, D., Peterson, N., Stecher, G., Nei, M., and Kumar, S., 2011. MEGA5: molecular evolutionary genetics analysis using maximum likelihood, evolutionary distance, and maximum parsimony methods. *Molecular biology and evolution*, 28(10), PP: 2731-2739.
- 35- Van Oosterhout, C., Hutchinson, W. F., Wills, D. P. M., and Shipley, P. F., 2004. Micro-Checker: software for identifying and correcting genotyping errors in microsatellite data. *Molecular Ecology Notes*, 4, PP: 535-538.
- 36- Wright, S., 1978. The genetical structure of populations. *Annals of Eugenics*, 15 (1), PP: 323-354.
- 37- Xia, J. H., Huang, J. H., Gong, J. B., and Jiang, S. G., 2008. Significant population genetic structure of yellowfin seabream *Acanthopagrus latus* in China. *Journal of Fish Biology*, 73(8), PP: 1979-1992.
- 38- Xia, J. H., Xia, K. F., and Jiang, S. G., 2006. Characterization of 11 polymorphic microsatellite loci in the yellowfin seabream *Acanthopagrus latus*. *Molecular Ecology Notes*, 6(2), PP: 484-486.

Genetic diversity Investigation of Silver Seabream *Sparidentex hasta* (Day, 1878) in Persian Gulf and Oman Sea using Microsatellite marker

Ghasemi S.A., Faghih A. and Fakhri A.

Dept. of Biotechnology, Persian Gulf Institute, Persian Gulf University, Bushehr, I.R. of Iran

Abstract

In this study eight microsatellite DNA loci were used to examine the population genetic structure of *Acanthopagrus curvieri*. 170 individuals from four sites in Persian Gulf and one site in Oman Sea were analyzed. The results showed that number of Na and Ne in locus were low. But observed heterozygosity, expected heterozygosity and gene diversity were medium. The results of analysis of molecular variance pairwise R_{ST} values indicate that, 87.54% of the genetic variation contained within populations and 13.46% occurred among populations. The Bushehr and Genaveh and Dayer populations were not significantly different from each other, but significantly different from the other population, and Khor Mosa and Genaveh samples were also not significantly different from each other, but significantly different from all other samples. The samples collected from Bandar Abbas site were significantly different from all other samples in Persian Gulf. The gene flow was estimated (N_m) indicated that existence of high gene flow among populations from 0.994 to 11.114. Neighbour-joining analysis clustered the Bandar Abbas samples far from the others while population collections from Persian Gulf were clustered in one clade. In summary Bandar Abbas population were distinct population from Persian Gulf population.

Key words: Genetic diversity, *Sparidentex hasta*, Microsatellite